

การวิเคราะห์เงื่อนไขที่เหมาะสมสำหรับการใช้ก้าชໂອໂຟນในการมาเข้าโขคที่
ศูนย์บริการโลหิตแห่งชาติ สถาบันชาดไทย



นางสาวศิริกษ์ เนตรรัตนะ

วิทยานิพนธ์นี้เป็นส่วนหนึ่งของการศึกษาตามหลักสูตรปริญญาวิศวกรรมศาสตรมหาบัณฑิต

ภาควิชาวิศวกรรมอุตสาหกรรม

บัณฑิตวิทยาลัย จุฬาลงกรณ์มหาวิทยาลัย

พ.ศ. 2539

ISBN 974-633-831-5

ลิขสิทธิ์ของบัณฑิตวิทยาลัย จุฬาลงกรณ์มหาวิทยาลัย

16894674

ANALYSIS OF SUITABLE CONDITION FOR UTILIZING OZONE GAS IN FUMIGATION
AT THE BLOOD CENTER OF THE THAI REDCROSS SOCIETY

Miss Sirirak Netrratana

A Thesis Submitted in Partial Fulfillment of the Requirements

for the Degree of Master of Engineering

Department of Industrial Engineering

Graduate School

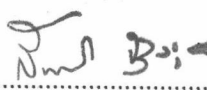
Chulalongkorn University

1996

ISBN 974-633-831-5

หัวข้อวิทยานิพนธ์ การวิเคราะห์เงื่อนไขที่เหมาะสมสำหรับการใช้ก้าชโอลูนในการฟื้นฟู
 เศรษฐกิจที่ศูนย์บริการโลหิตแห่งชาติ สภากาชาดไทย
 โดย นางสาวศิริรักษ์ เนตรรัตนะ¹
 ภาควิชา วิศวกรรมอุตสาหการ
 อาจารย์ที่ปรึกษา ศาสตราจารย์ อัมพิกา ไกรฤทธิ์²
 อาจารย์ที่ปรึกษาร่วม นาวาตรี ชลัช ชากุล, รน.³

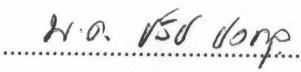
บันทึกวิทยาลัย จุฬาลงกรณ์มหาวิทยาลัย อนุมัติให้นับวิทยานิพนธ์ฉบับนี้ เป็นส่วน
 หนึ่งของการศึกษาตามหลักสูตรปริญญามหาบัณฑิต

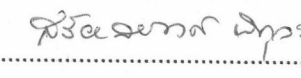

 คณบดีบันทึกวิทยาลัย
 (รองศาสตราจารย์ ดร. สันติ ถุงสุวรรณ)

คณะกรรมการสอบวิทยานิพนธ์


 ประธานกรรมการ
 (ศาสตราจารย์ ดร. ศิริจันทร์ ทองประเสริฐ)


 อาจารย์ที่ปรึกษา
 (ศาสตราจารย์ อัมพิกา ไกรฤทธิ์)


 อาจารย์ที่ปรึกษาร่วม
 (นาวาตรี ชลัช ชากุล, รน.)


 กรรมการ
 (พญ. สรีอยส่องค์ พิกุลสด)


 กรรมการ
 (อาจารย์ จิราพัฒน์ เงาประเสริฐวงศ์)

พิมพ์ต้นฉบับที่คัดย่อวิทยานิพนธ์ภายในกรอบสีเขียวนี้เพียงแผ่นเดียว



นางสาวศิริกาญช์ เนตรรัตนะ : การวิเคราะห์เงื่อนไขที่เหมาะสมสำหรับการใช้ก๊าซโอโซนในการฆ่าเชื้อโรคที่ศูนย์บริการโลหิตแห่งชาติ สถาบันชาดไทย (ANALYSIS OF SUITABLE CONDITION FOR UTILIZING OZONE GAS IN FUMIGATION AT THE BLOOD CENTER OF THE THAI REDCROSS SOCIETY) อาจารย์ที่ปรึกษา : ศาสตราจารย์ อัมพิกา ไกรฤทธิ์ อาจารย์ที่ปรึกษาร่วม : นาวาตรี ชลัช ชวุฒิ, งาน. 218 หน้า ISBN 974-633-831-5

วิทยานิพนธ์ฉบับนี้ เป็นการออกแบบและวิเคราะห์การทดลองของการใช้ก๊าซโอโซนทำลายเชื้อจุลินทรีย์ในอากาศของห้องเจาะเก็บโลหิต ศูนย์บริการโลหิตแห่งชาติ สถาบันชาดไทยและหาเงื่อนไขที่เหมาะสมของการศึกษานี้ โดยจะนำปัจจัยที่คาดว่าจะมีผลต่อการทำลายเชื้อจุลินทรีย์ของก๊าซโอโซนที่สามารถควบคุมได้มาทำการออกแบบการทดลองซึ่งจากการศึกษาพบว่าปัจจัยที่มีอิทธิพลดังกล่าวมีดังนี้ คือ อัตราการไหลของก๊าซออกซิเจนและเวลาในการป้อนก๊าซออกซิเจนเข้าสู่เครื่องกำเนิดก๊าซโอโซน แต่เนื่องจากการทดลองมีข้อจำกัดในเรื่องพิษตกค้างของก๊าซโอโซนจะต้องอยู่ในระดับที่ไม่เป็นอันตรายต่อมนุษย์ จึงได้ทำการทดลองตาม Screening Design ซึ่งเป็นแผนการทดลองแบบแฟคโอลเรียลชนิดไม่สมบูรณ์โดยที่ใช้วัดดับความปลอดภัยของพิษตกค้างของก๊าซโอโซนมาเป็นเกณฑ์ในการออกแบบ ด้วย แล้วแยกการวิเคราะห์การทดลองออกเป็น 5 กลุ่มตามหลักการของ Factorial design ซึ่งพบว่าปัจจัยที่มีผลต่อการทดลองประกอบด้วยปัจจัยหลักทั้งสิ้น 2 ปัจจัย คือ อัตราการไหลของก๊าซออกซิเจนและเวลาในการป้อนก๊าซออกซิเจนเข้าสู่เครื่องกำเนิดก๊าซโอโซน

หลังจากนั้นจึงได้ทำการสร้างสมการคณิตศาสตร์โดยอาศัยหลักการของ Orthogonal Polynomial และหาค่าที่เหมาะสมในการทดลองโดยพิจารณาจากสมการและข้อกำหนดในการออกแบบของเครื่องกำเนิดก๊าซโอโซนเครื่องนี้ ซึ่งพบว่าเงื่อนไขที่เหมาะสมดังกล่าวคือ อัตราการไหลของก๊าซออกซิเจน 10 ลิตร/นาที และเวลาในการป้อนก๊าซออกซิเจน 16 นาที

#C616303 : MAJOR INDUSTRIAL ENGINEERING
KEY WORD: : FACTORIAL DESIGN / FUMIGATION / NATIONAL BLOOD CENTER OF THE THAI REDCROSS SOCIETY / ORTHOGONAL POLYNOMIAL / OZONE GAS
MISS SIRIRAK NETRRATANA : ANALYSIS OF SUITABLE CONDITION FOR UTILIZING OZONE GAS IN FUMIGATION AT THE BLOOD CENTER OF THE THAI RED CROSS SOCIETY. THESIS ADVISOR : PROFESSOR AMPIKA KRAIRIT THESIS CO-ADVISOR : LT. COMMANDER CHALAT CHAVAKUL.RTN.
218 pp. ISBN 974-633-831-5

This thesis addresses the design and analysis of experiment utilizing ozone gas in fumigation at National Blood Center Thai Redcross Society and searches the suitable condition for this research by studying factors that effect it.

The factors are flow rate of oxygen gas and feeding time of oxygen gas to ozone generator. Because of toxicity of residual ozone gas, the full factorial, a technique of statistic design is applied to screening design which is uncomplete factorial design. Grouping the experiment into 5 groups and analyzing them by principle of factorial design. It is found that two significant factors affecting the percentage of reduced micro-organism are main factors type. The main factors are flow rate of oxygen gas and feeding time of oxygen gas to ozone generator.

Using the principle of orthogonal polynomial for setting the mathematical equations from the results and searching the suitable values from these equations and limitation of the design of this ozone generator. It is found that the suitable values are 10 litres per minite of flow rate of oxygen gas and 16 minites of feeding time of oxygen gas.

ภาควิชา.....วิศวกรรมอุตสาหการ
สาขาวิชา.....วิศวกรรมอุตสาหการ
ปีการศึกษา.....2538

ลายมือชื่อนิสิต.....ณัฐ พันธุ์
ลายมือชื่ออาจารย์ที่ปรึกษา.....ดร. สุรัตน์ วงศ์สุวรรณ
ลายมือชื่ออาจารย์ที่ปรึกษาร่วม.....ก.ก. ก.ก. ก.ก. ก.ก.



กิตติกรรมประกาศ

ในการทำงานวิจัยครั้งนี้ ผู้ทำวิจัยขอกราบขอบพระคุณเป็นอย่างสูงต่อศาสตราจารย์ อัมพิกา ไกรฤทธิ์ อาจารย์ที่ปรึกษา ตลอดจน ศาสตราจารย์ ดร. ศิริจันทร์ ทองประเสริฐ ประธานกรรมการ พญ. สวัสดิ์สองค์ พิกุลสด และ อาจารย์จิรพัฒน์ เงาประเสริฐวงศ์ กรรมการ สอบวิทยานิพนธ์ ที่ได้กรุณาสละเวลาอันมีค่าในการช่วยเหลือ ให้คำแนะนำและข้อคิดเห็นต่างๆ ตรวจสอบแก้ไขข้อบกพร่องต่างๆ ของการวิจัย จนกระหึ่งวิทยานิพนธ์ฉบับนี้สำเร็จลุล่วงไปด้วยดี

นอกจากนี้ผู้ทำวิจัยขอกราบขอบพระคุณ นาวาตรี ชาล็ช ชากุล อาจารย์ที่ปรึกษาร่วม และที่ปรึกษาด้านวิศวกรรม ศูนย์บริการโลหิตแห่งชาติ สถาบันชีวภาพ ที่ได้กรุณาให้คำแนะนำ และคำปรึกษา รวมทั้งให้การสนับสนุนและความสะดวกในการทำงานวิจัยครั้งนี้ ตลอดจน คุณสมคิด เพชรรัตน์ หัวหน้าช่าง และเจ้าหน้าที่แผนกเตรียมน้ำยาและแอนติซีรัม และหน่วยงานต่างๆ ที่เกี่ยวข้องที่ได้กรุณาให้ความร่วมมือทำให้วิจัยในครั้งนี้สำเร็จไปด้วยดี และขอกราบขอบพระคุณอาจารย์กิตติศักดิ์ พลอยพาณิชเจริญ อาจารย์ประจำภาควิชาวิศวกรรมอุตสาหการ คณะวิศวกรรมศาสตร์ สถาบันเทคโนโลยีพระจอมเกล้าธนบุรี และอาจารย์ทุกท่านที่ได้กรุณาให้คำแนะนำและคำปรึกษาในระหว่างการทำวิทยานิพนธ์ในครั้งนี้

สุดท้ายนี้ ผู้วิจัยขอขอบคุณบิดามารดา สมาชิกในครอบครัว คุณธีรัณย์ สถาบูรณ์ รวมทั้งเพื่อนนิสิตปริญญาโท ภาควิชาวิศวกรรมอุตสาหการ และท่านที่มิได้กล่าวมาไว้ ณ. ที่นี่ ที่กรุณาให้ความร่วมมือ ความช่วยเหลือ และให้กำลังใจแก่ผู้ทำวิจัยด้วยดีมาโดยตลอด สำเร็จการศึกษา

นางสาวศิริรักษ์ เนตรรัตนะ



สารบัญ

	หน้า
บทคัดย่อภาษาไทย	๑
บทคัดย่อภาษาอังกฤษ	๑
กิตติกรรมประกาศ	๒
สารบัญตาราง	๓
สารบัญรูป	๓
คำอธิบายสัญลักษณ์และคำศัพท์	๗
บทที่ 1 บทนำ	๑
บทที่ 2 การสำรวจงานวิจัยและทฤษฎีที่เกี่ยวข้อง	๖
บทที่ 3 การออกแบบการทดลอง	๕๑
บทที่ 4 การดำเนินการทดลอง	๘๓
บทที่ 5 การวิเคราะห์ผลการทดลอง	๑๐๔
บทที่ 6 สรุปผลและข้อเสนอแนะ	๑๒๙
รายการอ้างอิง	๑๓๕
ภาคผนวก	๑๓๙
ภาคผนวก ก. ผลการทดลอง	๑๔๐
ภาคผนวก ข. ผลการตรวจสอบความถูกต้องของรูปแบบ	๑๖๔
ภาคผนวก ค. ผลการวิเคราะห์ความแปรปรวนของการทดลอง	๑๙๒
ภาคผนวก ง. กราฟแสดงอิทธิพลของปัจจัยที่มีผลต่อเปอร์เซ็นต์การลดลงของเรือ จุลินทรีย์ของการทดลองในแต่ละกลุ่ม	๑๙๖
ภาคผนวก จ. ตารางแสดงค่าสัมประสิทธิ์ของ Orthogonal Polynomial	๒๐๑
ภาคผนวก ฉ. การคำนวนหาปริมาตร ความเข้มข้นของก๊าซโอดิโซนและค่าใช้จ่ายในการฉีดพ่นก๊าซโอดิโซน	๒๐๓
ภาคผนวก ช. แผนภูมิ Psychrometric Chart	๒๐๗
ภาคผนวก ช. รูปภาพประกอบ	๒๐๙
ประวัติผู้เขียน	๒๑๘

สารบัญตาราง

ตารางที่		หน้า
2.1	ขั้นของความสะอาดของห้อง (Air Cleanliness Classes)	11
2.2	แสดงขอบเขตของขั้นสำหรับอนุภาคที่มีอยู่ต่อปริมาตรหนึ่งลบ.ฟุต ของอนุภาค ที่มีขนาดต่างๆ	14
2.3	ประเภทของอุตสาหกรรมต่างๆ ที่ต้องการใช้ห้องสะอาด	16
2.4	ประเภทของอุตสาหกรรมต่างๆ ทางด้านชีววิทยาที่ต้องการใช้ห้องสะอาด.....	17
2.5	แสดงมาตรฐานของนาซ่า (NASA Standard, NHB 5340, 2 1967 08)	19
2.6	สารเคมีและกลไกที่ใช้ในการฆ่าเชื้อโรคด้วยสารเคมี (Agent And Mechanisms For Chemical Disinfection)	26
2.7	ผลของสารฆ่าเชื้อชนิดต่างๆ ที่มีต่อจุลเชื้อที่ก่อให้เกิดโรคและสปอร์ของ แบคทีเรีย	27
2.8	แสดงการเปรียบเทียบค่ากำลัง Oxidation ของตัวออกซิไดซ์ต่าง ๆ	29
2.9	คุณสมบัติทางกายภาพของก๊าซออกซิเจน	30
2.10	การตัดสินใจในการทดสอบสมมติฐาน	47
2.11	แสดงตัวอย่างของการหาค่าตัวแปรสุ่ม F จากตารางวิเคราะห์ความแปรปรวน	50
3.1	แสดงมาตรฐานสำหรับระดับความสะอาด (Cleanliness Class) ในแต่ละห้อง/ สถานที่	61
3.2	ผลการทดลองของการเลือกระดับของปริมาณก๊าซออกซิเจนในการเลือก ครั้งที่ 1	63
3.3	ผลการทดลองของการเลือกระดับของปริมาณก๊าซออกซิเจนในการเลือก ครั้งที่ 2	63
3.4	ผลการทดลองของการเลือกระดับของปริมาณก๊าซออกซิเจนในการเลือก ครั้งที่ 3	64
3.5	ผลการทดลองของการเลือกระดับของปริมาณก๊าซออกซิเจนในการเลือก ครั้งที่ 4	64
3.6	ผลการทดลองการหาระยะห่างในการจัดพื้นก๊าซออกซิเจนในแต่ละครั้ง	67

สารบัญตาราง (ต่อ)

ตารางที่	หน้า
3.7 แสดงตาราง Screening Design ของการวิจัย	70
3.8 แสดงแผนการออกแบบทดลอง	75
3.9 แสดงเมตริกการออกแบบแบบข้อความของทดลองพร้อมทั้งการทำแบบสุ่ม ลำดับที่จะทำการทดลองของทดลองใน Screening Design	78
3.10 แสดงเมตริกการออกแบบของทดลองในกลุ่มที่ 1	80
3.11 แสดงเมตริกการออกแบบของทดลองในกลุ่มที่ 2	80
3.12 แสดงเมตริกการออกแบบของทดลองในกลุ่มที่ 3	81
3.13 แสดงเมตริกการออกแบบของทดลองในกลุ่มที่ 4	81
3.14 แสดงเมตริกการออกแบบของทดลองในกลุ่มที่ 5	82
4.1 แสดงองค์ประกอบต่าง ๆ ที่ได้จากการผลิตก๊าซไฮโซนด้วย Silent Spark ...	90
4.2 แสดงการปรับปริมาณของก๊าซออกซิเจนที่ใช้ในการผลิตก๊าซไฮโซนตาม แบบแผนการทดลองของ Screening Design	96
5.1 แสดงผลการวิเคราะห์ความแปรปรวนของเปอร์เซ็นต์ที่ลดลงของจำนวน จุลินทรีย์โดยใช้อัตราการไหลของก๊าซออกซิเจน(Flow Rate) และเวลาใน การป้อนก๊าซออกซิเจน (time) ที่แตกต่างกันตามการทดลองกลุ่มที่ 1	109
5.2 แสดงค่า Coefficient of Determination, R^2 ของทดลองในกลุ่มที่ 2, 3, 4 และ 5	113
5.3 แสดงผลการวิเคราะห์ความแปรปรวนโดยพิจารณาถึง Polynomial Effect ของการทดลองในกลุ่มที่ 1	114
5.4 แสดงผลการวิเคราะห์ความแปรปรวนโดยพิจารณาถึง Polynomial Effect ของการทดลองในกลุ่มที่ 2	117
5.5 แสดงผลการวิเคราะห์ความแปรปรวนโดยพิจารณาถึง Polynomial Effect ของการทดลองในกลุ่มที่ 3	118
5.6 แสดงผลการวิเคราะห์ความแปรปรวนโดยพิจารณาถึง Polynomial Effect ของการทดลองในกลุ่มที่ 4	119

สารบัญตาราง (ต่อ)

ตารางที่	หน้า
5.7 แสดงผลการวิเคราะห์ความแปรปรวนโดยพิจารณาถึง Polynomial Effect ของ การทดลองในกลุ่มที่ 5	120
6.1 แสดงอัตราการไหลของก๊าซออกซิเจนและเวลาที่ใช้ในการป้อนก๊าซออกซิเจนที่ทำให้เปอร์เซ็นต์การลดลงของเชื้อจุลินทรีย์สูงที่สุดในแต่ละชุดของการทดลอง	131
6.2 แสดงความเข้มข้นของก๊าซไฮโดรเจนที่ได้	131
6.3 แสดงค่า Energy Yield Coefficiency ของอัตราการไหลของก๊าซออกซิเจนที่ 8,10, 16 l./min.	133
ก.1 แสดงผลการทดลองในการเลือกระดับของปัจจัยที่ทำการศึกษา	141
ก.2 แสดงผลการทดลองในการหาระยะห่างในการฉีดพ่นก๊าซไฮโดรเจนหลังจากการฉีดพ่นเป็นเวลา 24 Hrs.	142
ก.3 แสดงผลการทดลองในการหาระยะห่างในการฉีดพ่นก๊าซไฮโดรเจนหลังจากการฉีดพ่นเป็นเวลา 48 Hrs.	143
ก.4 แสดงผลการทดลองสำหรับการใช้ก๊าซไฮโดรเจนในการทำลายเชื้อจุลินทรีย์	144
ก.5 แสดงผลการทดลองของเปอร์เซ็นต์การลดลงของจำนวนจุลินทรีย์	151
ก.6 แสดงผลการทดลองของผลการทดลองในกลุ่มที่ 1	159
ก.7 แสดงผลการทดลองของผลการทดลองในกลุ่มที่ 2	159
ก.8 แสดงผลการทดลองของผลการทดลองในกลุ่มที่ 3	160
ก.9 แสดงผลการทดลองของผลการทดลองในกลุ่มที่ 4	160
ก.10 แสดงผลการทดลองของผลการทดลองในกลุ่มที่ 5	161
ก.11 แสดงผลการทดลองฉีดพ่นก๊าซไฮโดรเจนโดยใช้อัตราการไหลของก๊าซออกซิเจน 10 l./min. และเวลาในการป้อนก๊าซออกซิเจน 16 min.	162
ก.12 แสดงผลเปอร์เซ็นต์ที่ลดลงของจำนวนจุลินทรีย์หลังจากการฉีดพ่นโดยใช้อัตราการไหลของก๊าซออกซิเจน 10 l./min. และเวลาในการป้อนก๊าซออกซิเจน 16 min.	163
ข.1 แสดงค่า Residuals กับค่า Probability ของการทดลองในกลุ่มที่ 1	165
ข.2 แสดงค่าของ Residuals กับลำดับการทดลองของผลการทดลองในกลุ่มที่ 1	166
ข.3 แสดงค่าของ Residuals กับค่าประมาณของข้อมูลในการทดลองกลุ่มที่ 1	167

สารบัญตาราง (ต่อ)

ตารางที่		หน้า
ข.4	แสดงค่า Residuals กับค่า Probability ของการทดลองในกลุ่มที่ 2	168
ข.5	แสดงค่าของ Residuals กับลำดับการทดลองของการทดลองในกลุ่มที่ 2	170
ข.6	แสดงค่าของ Residuals กับค่าประมาณของข้อมูลในการทดลองกลุ่มที่ 2	172
ข.7	แสดงค่า Residuals กับค่า Probability ของการทดลองในกลุ่มที่ 3	174
ข.8	แสดงค่าของ Residuals กับลำดับการทดลองของการทดลองในกลุ่มที่ 3	176
ข.9	แสดงค่าของ Residuals กับค่าประมาณของข้อมูลในการทดลองกลุ่มที่ 3	178
ข.10	แสดงค่า Residuals กับค่า Probability ของการทดลองในกลุ่มที่ 4 ..	180
ข.11	แสดงค่าของ Residuals กับลำดับการทดลองของการทดลองในกลุ่มที่ 4	182
ข.12	แสดงค่าของ Residuals กับค่าประมาณของข้อมูลในการทดลองกลุ่มที่ 4	184
ข.13	แสดงค่า Residuals กับค่า Probability ของการทดลองในกลุ่มที่ 5	186
ข.14	แสดงค่าของ Residuals กับลำดับการทดลองของการทดลองในกลุ่มที่ 5	188
ข.15	แสดงค่าของ Residuals กับค่าประมาณของข้อมูลในการทดลองกลุ่มที่ 5	190
ค.1	แสดงผลการวิเคราะห์ความแปรปรวนของเบอร์เร็นท์ที่ลดลงของจำนวนจุลินทรีย์โดยใช้อัตราการให้เหลือของก้าชอกซิเจนและเวลาในการป้อนก้าชอกซิเจนที่แตกต่างกันตามการทดลองในกลุ่มที่ 2	193
ค.2	แสดงผลการวิเคราะห์ความแปรปรวนของเบอร์เร็นท์ที่ลดลงของจำนวนจุลินทรีย์โดยใช้อัตราการให้เหลือของก้าชอกซิเจนและเวลาในการป้อนก้าชอกซิเจนที่แตกต่างกันตามการทดลองในกลุ่มที่ 3	193
ค.3	แสดงผลการวิเคราะห์ความแปรปรวนของเบอร์เร็นท์ที่ลดลงของจำนวนจุลินทรีย์โดยใช้อัตราการให้เหลือของก้าชอกซิเจนและเวลาในการป้อนก้าชอกซิเจนที่แตกต่างกันตามการทดลองในกลุ่มที่ 4	194

สารบัญตาราง (ต่อ)

ตารางที่	หน้า
ค.4 แสดงผลการวิเคราะห์ความแปรปรวนของเบอร์เช็นด์ที่ลดลงของจำนวน จุลินทรีย์โดยใช้อัตราการไหลของก้าชออกซิเจนและเวลาในการป้อน ก้าชออกซิเจนที่แตกต่างกันตามการทดลองในกลุ่มที่ 5	194
ค.5 แสดงผลการวิเคราะห์ T - Test เปรียบเทียบระหว่างเบอร์เช็นด์ที่ลดลง ของจำนวนจุลินทรีย์ที่ได้จากการคำนวณและที่ได้จากการทดลองจริง	195
ฯ.1 แสดงค่าสัมประสิทธิ์ของ Orthogonal Polynomial	202

สารบัญรูป

รูปที่		หน้า
2.1	แสดงขนาดของอนุภาคต่างๆ (Praticle Size Distribution Curve)	12
2.2	แสดงมาตรฐานกำหนดเป็นทางการของ 209b (F.S. 209b) โดยเพิ่มชั้น (Class) ของห้องสะอาดออกไปอีกเป็นชั้นที่ 1 (Class 1) และชั้นที่ 10 (Class 10)	14
2.3	กราฟแสดงการลดลงของเชื้อจุลินทรีย์เป็นแบบ Logarithmic Order เมื่อผ่านกระบวนการการทำให้ปราศจากเชื้อ	20
2.4	แสดงวิธีการทำลายเชื้อจุลินทรีย์ของสารเคมีต่างๆ	
	(ก) แสดงการเข้าทำลายที่ผนังเซลล์ (Cell Wall)	23
	(ข) แสดงการเข้าทำลายที่เยื่อหุ้มเซลล์ (Cell Membrane)	24
2.5	แสดงความเป็นพิษของก๊าซโอดิโซน	33
2.6	แสดงปัจจัยและพารามิเตอร์ของกระบวนการ	38
3.1	แสดงปัจจัยต่างๆที่มีผลต่อการทำลายจุลินทรีย์ของสารเคมี ดังต่อไปนี้	52
	(a) ระยะเวลาที่ใช้ในการการทำลายเชื้อจุลินทรีย์ ซึ่งจะเห็นได้ว่าจุลินทรีย์ทั้งหมดไม่ได้ตายในทันทีที่ได้รับสารเคมี และจุดที่แทบจะไม่มีจุลินทรีย์เหลืออยู่เลย เรียกว่า Sterilization	
	(b) จำนวนของเชื้อจุลินทรีย์	
	(c) ชนิดของเชื้อจุลินทรีย์	
	(d) ชนิดของสารเคมี	
3.2	แสดงความสัมพันธ์ระหว่างประสิทธิภาพในการการทำลายเชื้อ E.Coli ของสารละลาย Phenol ที่ระดับความเข้มข้นต่างๆกัน ณ อุณหภูมิ 35 °C	53
3.3	แสดงให้เห็นถึงประสิทธิภาพในการการทำลายเชื้อ E.Coli ของสารละลาย Phenol ที่ระดับอุณหภูมิต่างๆกัน	54

สารบัญรูป (ต่อ)

รูปที่		หน้า
3.4	แสดงสเกลของอัตราการไหลของก๊าซออกซิเจนของเครื่องกำเนิดก๊าซไฮโดรเจนที่ใช้ในการวิจัยครั้งนี้	58
3.5	ระดับความเข้มข้นต่างๆของก๊าซไฮโดรเจนที่จะทำให้เกิดอันตรายต่อร่างกาย	60
3.6	แสดงขั้นตอนการตัดสินใจในการเลือกช่วงที่จะศึกษาของปริมาณก๊าซออกซิเจน	65
4.1	แสดงตัวอย่างของอาหารเลี้ยงเชื้อที่เตรียมได้จาก	
	ก. ข้าวโพด เด็กซ์ไทรส อาการ (สีเหลืองอ่อน)	87
	ข. บลัด อาการ (สีแดงสด)	87
4.2	แสดงตำแหน่งต่างๆในการวางแผนเพาะเชื้อ ในห้องเจาะโลหิต	89
4.3	แสดงเครื่องผลิตก๊าซไฮโดรเจนที่สร้างโดยหลักการของ Corona Type	91
4.4	แสดงส่วนต่างๆของเครื่องผลิตก๊าซไฮโดรเจนที่ใช้ทำการศึกษาวิจัยในครั้งนี้	92
5.1	กราฟแสดงการตรวจสอบการกระจายแบบปกติในการทดลองกลุ่มที่ 1	106
5.2	กราฟแสดงการกระจายของข้อมูลในการทดลองกลุ่มที่ 1	107
5.3	กราฟแสดงความสม่ำเสมอของความคลาดเคลื่อนของข้อมูลการทดลองในกลุ่มที่ 1	108
5.4	กราฟแสดงอัตราการไหลของก๊าซออกซิเจนที่มีต่อเปอร์เซ็นต์การลดลงของจำนวนจุลินทรีย์สำหรับการทดลองในกลุ่มที่ 1	115
5.5	กราฟแสดงอัตราการไหลของเวลาในการป้อนก๊าซออกซิเจนที่มีต่อเปอร์เซ็นต์การลดลงของจำนวนจุลินทรีย์สำหรับการทดลองในกลุ่มที่ 1.....	116
5.6	กราฟแสดงผลของอัตราการไหลของก๊าซออกซิเจนที่มีต่อเปอร์เซ็นต์การลดลงของจำนวนจุลินทรีย์ตามความสัมพันธ์จากสมการ 5.2 (การทดลองในกลุ่มที่ 1)..	123
5.7	กราฟแสดงผลของเวลาในการป้อนก๊าซออกซิเจนที่มีต่อเปอร์เซ็นต์การลดลงของจำนวนจุลินทรีย์ตามความสัมพันธ์จากสมการ 5.2 (การทดลองในกลุ่มที่ 1)	123
5.8	กราฟแสดงผลของอัตราการไหลของก๊าซออกซิเจนที่มีต่อเปอร์เซ็นต์การลดลงของจำนวนจุลินทรีย์ตามความสัมพันธ์จากสมการ 5.3 (การทดลองในกลุ่มที่ 2)	124

สารบัญ (ต่อ)

รูปที่	หน้า
5.9 ภาพแสดงผลของการป้อนก๊าซออกซิเจนที่มีต่อเปอร์เซ็นต์การลดลงของจำนวนจุลินทรีย์ตามความสัมพันธ์จากสมการ 5.3 (การทดลองในกลุ่มที่ 2)	124
5.10 ภาพแสดงผลของการอัตราการไหลของก๊าซออกซิเจนที่มีต่อเปอร์เซ็นต์การลดลงของจำนวนจุลินทรีย์ตามความสัมพันธ์จากสมการ 5.4 (การทดลองในกลุ่มที่ 3) ..	125
5.11 ภาพแสดงผลของการป้อนก๊าซออกซิเจนที่มีต่อเปอร์เซ็นต์การลดลงของจำนวนจุลินทรีย์ตามความสัมพันธ์จากสมการ 5.4 (การทดลองในกลุ่มที่ 3)	125
5.12 ภาพแสดงผลของการอัตราการไหลของก๊าซออกซิเจนที่มีต่อเปอร์เซ็นต์การลดลงของจำนวนจุลินทรีย์ตามความสัมพันธ์จากสมการ 5.5 (การทดลองในกลุ่มที่ 4) ..	126
5.13 ภาพแสดงผลของการป้อนก๊าซออกซิเจนที่มีต่อเปอร์เซ็นต์การลดลงของจำนวนจุลินทรีย์ตามความสัมพันธ์จากสมการ 5.5 (การทดลองในกลุ่มที่ 4)	126
5.14 ภาพแสดงผลของการอัตราการไหลของก๊าซออกซิเจนที่มีต่อเปอร์เซ็นต์การลดลงของจำนวนจุลินทรีย์ตามความสัมพันธ์จากสมการ 5.6 (การทดลองในกลุ่มที่ 5) ..	127
5.15 ภาพแสดงผลของการป้อนก๊าซออกซิเจนที่มีต่อเปอร์เซ็นต์การลดลงของจำนวนจุลินทรีย์ตามความสัมพันธ์จากสมการ 5.6 (การทดลองในกลุ่มที่ 5)	128
6.1 แสดงความสัมพันธ์ระหว่างอัตราการไหลของก๊าซออกซิเจนและ Energy Yield Efficiency	132
๖.1 ภาพแสดงการตรวจสอบการกระจายแบบปกติในการทดลองกลุ่มที่ 2	169
๖.2 ภาพแสดงการกระจายของข้อมูลของการทดลองในกลุ่มที่ 2	171
๖.3 ภาพแสดงความสม่ำเสมอของความคลาดเคลื่อนของการทดลองในกลุ่มที่ 2	173
๖.4 ภาพแสดงการตรวจสอบการกระจายแบบปกติในการทดลองกลุ่มที่ 3	175
๖.5 ภาพแสดงการกระจายของข้อมูลของการทดลองในกลุ่มที่ 3	177
๖.6 ภาพแสดงความสม่ำเสมอของความคลาดเคลื่อนของการทดลองในกลุ่มที่ 3	179
๖.7 ภาพแสดงการตรวจสอบการกระจายแบบปกติในการทดลองกลุ่มที่ 4	181
๖.8 ภาพแสดงการกระจายของข้อมูลของการทดลองในกลุ่มที่ 4	183
๖.9 ภาพแสดงความสม่ำเสมอของความคลาดเคลื่อนของการทดลองในกลุ่มที่ 4	185
๖.10 ภาพแสดงการตรวจสอบการกระจายแบบปกติในการทดลองกลุ่มที่ 5	187

สารบัญรูป (ต่อ)

รูปที่		หน้า
ข.11	กราฟแสดงการกระจายของข้อมูลของการทดลองในกลุ่มที่ 5	189
ข.12	กราฟแสดงความสม่ำเสมอของความคลาดเคลื่อนของการทดลองในกลุ่มที่ 5	191
ง.1	กราฟแสดงอิทธิพลของอัตราการไหลของก๊าซออกซิเจนที่มีต่อเปอร์เซ็นต์การลดลงของเชื้อจุลทรรศ์สำหรับการทดลองในกลุ่มที่ 2	197
ง.2	กราฟแสดงอิทธิพลของเวลาในการป้อนก๊าซออกซิเจนที่มีต่อเปอร์เซ็นต์การลดลงของเชื้อจุลทรรศ์สำหรับการทดลองในกลุ่มที่ 2	197
ง.3	กราฟแสดงอิทธิพลของอัตราการไหลของก๊าซออกซิเจนที่มีต่อเปอร์เซ็นต์การลดลงของเชื้อจุลทรรศ์สำหรับการทดลองในกลุ่มที่ 3	198
ง.4	กราฟแสดงอิทธิพลของเวลาในการป้อนก๊าซออกซิเจนที่มีต่อเปอร์เซ็นต์การลดลงของเชื้อจุลทรรศ์สำหรับการทดลองในกลุ่มที่ 3	198
ง.5	กราฟแสดงอิทธิพลของอัตราการไหลของก๊าซออกซิเจนที่มีต่อเปอร์เซ็นต์การลดลงของเชื้อจุลทรรศ์สำหรับการทดลองในกลุ่มที่ 4	199
ง.6	กราฟแสดงอิทธิพลของเวลาในการป้อนก๊าซออกซิเจนที่มีต่อเปอร์เซ็นต์การลดลงของเชื้อจุลทรรศ์สำหรับการทดลองในกลุ่มที่ 4	199
ง.7	กราฟแสดงอิทธิพลของอัตราการไหลของก๊าซออกซิเจนที่มีต่อเปอร์เซ็นต์การลดลงของเชื้อจุลทรรศ์สำหรับการทดลองในกลุ่มที่ 5	200
ง.8	กราฟแสดงอิทธิพลของเวลาในการป้อนก๊าซออกซิเจนที่มีต่อเปอร์เซ็นต์การลดลงของเชื้อจุลทรรศ์สำหรับการทดลองในกลุ่มที่ 5	200
ช.1	แสดงแผนภาพ Psychrometric Chart	208
ช.1	แสดงรูปของงานเลี้ยงเชื้อ	210
ช.2	แสดงรูปของงานเลี้ยงเชื้อที่ถูกห่อหุ้มด้วยกระดาษสีน้ำตาลก่อนที่จะส่งเข้าเครื่อง Sterile	210
ช.3	แสดง ชั้บโปรด เดกซ์ไตรส อาการ	211
ช.4	แสดง บลัด อาการ (สีแดงสด)	211
ช.5	แสดงรูปของขาดเตรียมสำหรับเก็บอาหารเลี้ยงเชื้อที่ผ่านการ Sterile แล้ว	212

สารบัญรูป (ต่อ)

รูปที่	หน้า
ช.6 แสดงรูปของเครื่องซั่ง	212
ช.7 แสดงรูปอ่างน้ำร้อน	213
ช.8 แสดงรูปของตู้ปลอดเชื้อที่ใช้สำหรับเท Agar ลงในจานเลี้ยงเชื้อ	213
ช.9 แสดงรูปของตู้เย็นสำหรับเก็บอาหารเลี้ยงเชื้อ	214
ช.10 แสดงรูปของตู้อบที่ใช้ในการบ่มเชื้อ	215
ช.11 แสดงเทอร์โมมิเตอร์กระเพาะเปียกและกระเพาะแห้ง	216
ช.12 แสดงอุปกรณ์ที่ใช้สำหรับตรวจวัดปริมาณของก๊าซไฮโดรเจน	217

คำอธิบายสัญลักษณ์และคำย่อ

α	ความนำจะเป็นของความผิดพลาดประเภทที่ 1
β	ความนำจะเป็นของความผิดพลาดประเภทที่ 2
ε	ความคลาดเคลื่อน
τ	อิทธิพลที่เกิดจากปัจจัย
β (ในสมการ)	อิทธิพลที่เกิดจากปัจจัย
ν	ขั้นของความอิสระ
O_3	ก้าซไอโซน
O_2	ก้าซออกซีเจน
ANOVA	การวิเคราะห์ความแปรปรวน
CF.	Correcting Factor
df.	ขั้นของความอิสระ
ft^2	ลูกบาศก์ฟุต (หน่วยของพื้นที่)
l.	ลิตร (หน่วยความจุ)
min.	วินาที (หน่วยของเวลา)
MS	ค่าเฉลี่ยกำลังสอง
NID	รูปแบบของการกระจายแบบแยกแจงปกติที่เป็นอิสระ
No. of Colony	จำนวนของโคโล尼
ppm.	หน่วยความเข้มข้นหนึ่งส่วนในล้านส่วน
SS	ผลรวมกำลังสอง